



**SiO<sub>2</sub> NAMUNA SIRTIGA GE QATLAMLARINI O‘TKAZISH JARAYONI VA  
QIZDIRISHDAN SUNG Ge QATLAMLARINING KIMYOVIY VA FIZIK  
XOSSALARINI O’RGANISH.**

***Yorqulov Ruslan Maxammadi o‘g‘li.***

*Fizika-matematika fanlari falsafa doktori, dotsent. (Ruyo1990@mail.ru)*

***Mizomov Nurzod Odiljon o‘g‘li***

*“Neft va gaz ishi” kafedrasi talabasi*

**Annotatsiya:** SiO<sub>2</sub> ustidagi Ge qatlamlarini holatni namlash hodisasi odatda qatlam funksiyasi sifatida tekshiriladi. Qalinligi d<sub>Ge</sub> (10 -86 nm gacha) va toblanish harorati 580–700 °C. Ge qatlamlarining shakllanish qalinligi mos ravishda 10-60 va 86 nm. Bu temperaturada kanal kengligi sezilarli darajada torayadi va o‘rtasida yupqalashgan Ge qatlamining shakllanish bosqichi boshlanadi.

**Kalit so‘zlar:** Oksid, mikron, termal, pylonka, yarimo‘tkazgich, dielektrik, kvant nuqta, submikron, fotonik, nanoplyonka, toplash, morfologiya, polikristall, orolchalar, agglomeratsiyasi.

**Abstract:** The wetting of Ge layers on SiO is usually investigated as a function of the layer thickness. The thickness of d<sub>Ge</sub> (up to 10 -86 nm) and the annealing temperature are 580–700 °C. The formation thickness of the Ge layers is 10-60 and 86 nm, respectively. At this temperature, the channel width narrows significantly and the formation phase of the thinned Ge layer in the middle begins.

**Keywords:** Oxide, Micron, thermal, film, semiconductor, dielectric, quantum dot, Submicron, photonic, nanoplyonka, glazing, morphology, polycrystalline, islets, agglomeration.

## **KIRISH**

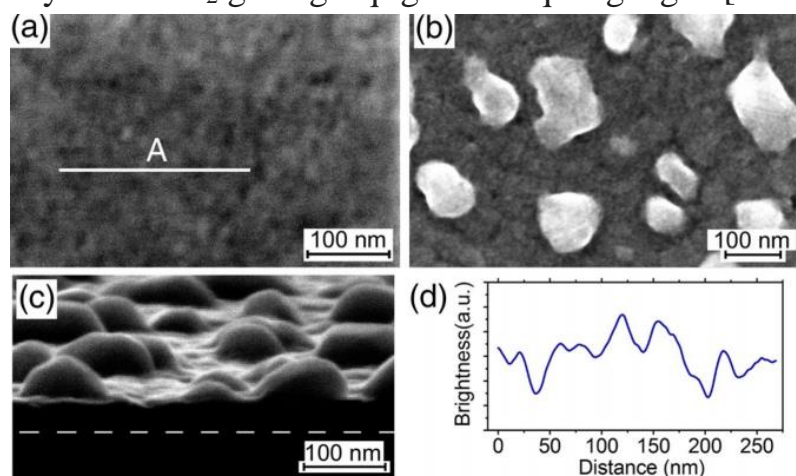
SiO<sub>2</sub> namuna yuzasi tabiiy oksid bilan qoplangan bo‘lib, u keyingi Ge bilan bog‘lanish jarayoniga kam miqdorda halaqt berishi mumkin[1]. Kimyoviy ravishda o‘stirilgan SiO<sub>2</sub> oksidiga o‘tkaziladigan Ge oksidini SiO<sub>2</sub> namuna bog‘lanish jarayoni minimal kichik haroratlardan boshlab boshlanishi mumkin. Ushbu tadqiqotda mikron o‘lchamdagি Ge zarralarini olish uchun biz dastlab xona haroratida SiO<sub>2</sub> ustiga 10 dan 86 nm qalinlikgacha Ge ni yotqizamiz. SiO<sub>2</sub> sirtida Ge qatlamlarining bir xil bo‘lmagan zarrachalarning shakllanishi yuz beradi. 1 mkm qalinlikdagi termal SiO<sub>2</sub> pylonkasi bilan qoplangan Si (100) plitalari substrat

sifatida ishlataladi [2] Ge o‘tkazilib bo‘lingandan sung, turli temperaturalarda qizdirish yo‘li bilan bog‘lanish hosil bo‘lish jarayonini tekshirish.

$\text{SiO}_2$  sirtiga, Ge yotqizish jarayoni o‘ta yuqori vakuumli kamerada amalga oshiriladi, bu bosim  $1 * 10^{-10}$  Torr. Ge ni  $\text{SiO}_2$  yuzasida o‘tirish tezligi taxminan  $\sim 1,0 \text{ nm/min}$ . Plyonkani o‘tkazish o‘sish kamerasida taxminan  $450^\circ\text{C}$  haroratda muntazam qizdirib turish orqali amalga oshiriladi. Ge ni namuna yuzasiga o‘tkazish 30 yoki 120 daqiqa davomida amalga oshiriladi. Hosil bo‘lgan plyonka yuzasini Skanerli elektron mikroskopda (SEM) da ko‘zatishimiz mumkin [2]. Bu yerda taqdim etilagan barcha o‘lchov natijalarimizning SEM tasvirlari 30 daqiqa davomida toblanganidan keyin namunalardan olingan.  $\text{SiO}_2$  namuna yuzasi avvalambor yuqori vakuumda kuchli qizdirish yo‘li bilan tozalanadi.

### **ADABIYOTLAR TAHLILI VA METODOLOGIYA.**

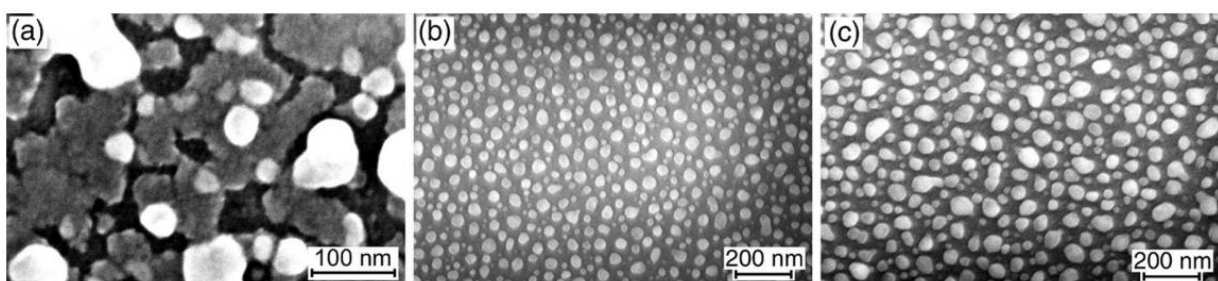
Qattiq jismni namlash hodisasidan yarimo‘tkazgichlarda yuqori mahsuldorlikka erishish mumkin. Mikron o‘lchamdagagi dielektrik zarralar yorug‘lik bilan o‘zaro ta’sirlashganda magnit va elektr rezonanslarini hosil qiladi. Ge ning sindirish ko‘rsatkichi  $\text{SiO}_2$  dan katta ekanligini hisobga olgan holda ularning yorug‘lik yutilish koeffitsiyentlarining spektral bog‘liqligi hisobga olsak, Ge materialini elektromagnit nurlanish uchun istiqbolli material sifatida ko‘rish mumkin.  $\text{SiO}_2$  da Ge qatlamlarini o‘tkazish paytida qattiq holatda namlanish hodisasi yuz beradi, zarrachalar o‘z-o‘zidan hosil bo‘ladi va shakli hamda hajmi bo‘yicha keng yoyiladi.  $\text{SiO}_2$  sirtlarida Ge zarrachalarining shakllanishini o‘rganish mobaynida nano o‘lchamdagagi ya‘ni  $40 \text{ nm}$  gacha bo‘lgan uch o‘lchovli Ge orolchalari va kvant nuqtalari namoyon bo‘ldi [3-10]. Ge orolchalari nisbatan past haroratlarda, ya‘ni toblanishdan keyin hosil bo‘lishi mumkinligi ko‘rsatdi. Hisob-kitoblarga ko‘ra, o‘lchamlari ko‘rinadigan va infraqizil spektral diapazonlarda, fotonik qo‘llash uchun submikron va mikron o‘lchamdagagi dielektrik zarrachalar talab qilinadi. Ge/Si/ $\text{SiO}_2$ /Si tuzilmalari  $700^\circ\text{C}$  da (30 katta o‘lchamdagagi SiGe zarralari o‘stirildi. Ge qatlamlarini namlash jarayonini  $\text{SiO}_2$  ga bog‘liqligi kamroq o‘rgangan [11-12].



*Rasm-1. (a–c)  $\text{SiO}_2$  ga yotqizilgan 20, 86 va 60 nm qalinlikdagi Ge qatlamlarining SEM tasvirlari hamda mos ravishda 560, 700 va  $650^\circ\text{C}$  da 30 daqiqa davomida vakuumda toplashdan keyingi rasmlar keltorilgan (1d) [11-12].*

$\text{SiO}_2$  ustidagi 10–40 nm qalinlikdagi Ge qatlamlari 200 °C gacha bo‘lgan temperaturada toblaganda,  $\text{SiO}_2$  da o‘sтирilган Ge elementi polikristall ekanligini ko‘rsatdi. Namunalarni 550°C va undan past haroratda toblanishi uch o‘lchamli zarrachalarning shakllanishiga olib kelmaydi. Sirt morfologiyasidagi o‘zgarishlar asosan 550 °C dan yuqori haroratlarda toplashdan sung kuzatildi (2-rasm).

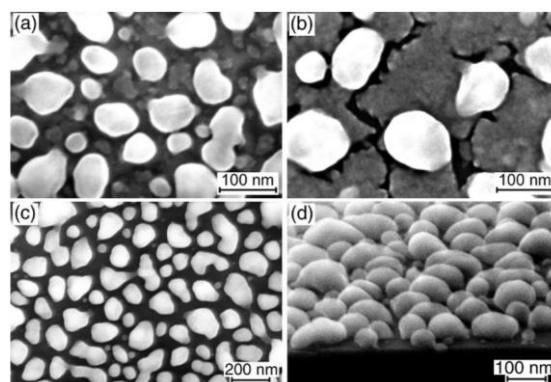
Ge qatlamlari yuzasida SEM tasvirlaridan ko‘rinadiki to‘lqinlar paydo bo‘ladi.  $\text{SiO}_2$  ustiga qalinroq Ge qatlamlari o‘tkazilganda nanoplyonka sirti yorqinroq va aniqroq ko‘rinadi (2d-rasm).  $\text{SiO}_2$  sirtida yupqaroq (20 nm) Ge qatlamlari o‘tkazilganda hosil bo‘lgan plyonka yuzasi sezilarli darajada kichikroq bo‘lar ekan (2 b,c-rasmlar). Ge qatlamlari polikristal bo‘lganligi sababli, ularning yuzasi turli xil orolchalardan iborat bo‘lar ekan.



2-rasm.  $\text{SiO}_2$  ga o‘tkazilgan Ge qatlamlarini vakuumda toplashdan sung keltirilgan SEM dagi tasvirlar. 2a - da 20 nm qalinlikdagi Ge qatlamini 580 °C da toplashdan keyingi tasvir. 2b va 2c tasvirlar mos ravishda 10 va 20 nm qalinlikdagi Ge qatlamlarini 600 °C da toplashdan keyingi tasvir.

### MUHOKAMA

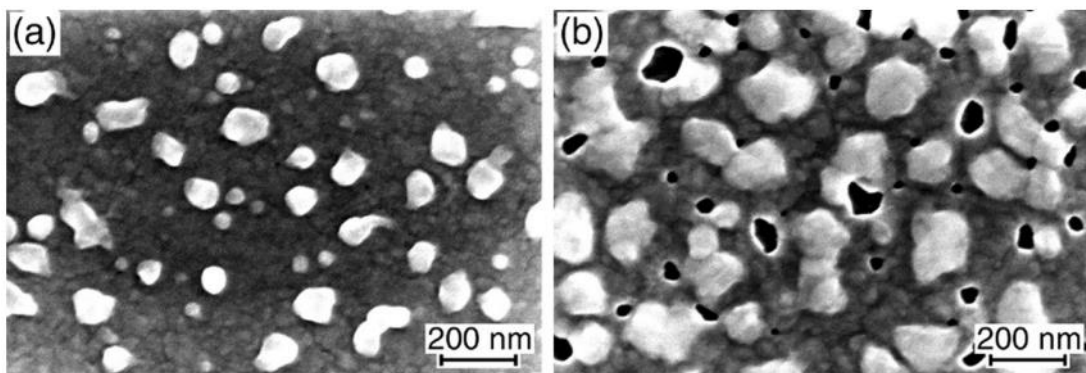
$\text{SiO}_2$  sirtiga o‘tkazilgan Ge qatlami 580 °C da 30 daqiqa davomida toblangandan so‘ng, 10 va 20 nm Ge qatlamlarining qisman aglomeratsiyasi kuzatiladi. Bu tor kanallar va kichik zarrachalar shakllangan teshiklar yaqinida nisbatan katta zarrachalar hosil bo‘lishidan iboratdir. 2a-rasmda Ge qatlaming qolgan joylari 580 °C da uzoqroq (2 soat) toblanishdan sung Ge qatlamlarining qolgan joylarining to‘liq yo‘qolishiga olib keladi. Biroq, ularning o‘rtacha hajmi 580 °C da toplashdan keyingi zarrachalarnikidan kichikroq. 600 °C va 800 °C da toplashlar o‘zaro solishtirilganda, toplashlardan sung bir xil shaklga ega bo‘lgan ixcham zarrachalar hosil bo‘ladi, ularning konsentratsiyasi va orolchalarning o‘rtacha kattaligi sezilarli darajada farq qilmasligi aniqlandi [11-12].



3-rasm. 3a rasm 30 nm va 3b-rasm 40 nm qalinlikdagi Ge qatlamlari bilan qoplangan  $\text{SiO}_2$  namunalarini 600 °C da toplashdan keyingi SEM tasvirlari keltirilgan. 3c-rasmda 40 nm qalinlikdagi Ge qatlaminini 800 °C da toplashdan keyin tasvir ko‘rsatilgan. 3d rasmda 700 °C da toplashdan keyin 40 nm qalinlikdagi Ge qatlaming tasviri keltirilgan [11-12].

$\text{SiO}_2$  namuna sirtiga o‘tkazilgan 30 va 40 nm qalinlikdagi Ge qatlamlari 600 °C da toblanganda Ge qatlamlarining qisman quruqlanish jarayoni ko‘zatildi (3a-rasm). Ge qatlamlari katta orolchalari strukturasi buzilishining boshlanishi va bir vaqtning o‘zida tor kanallarning shakllanishi ko‘zatildi (3b-rasm). Bu ikki tajriba o‘rtasidagi farq asosan toplanish haroratiga bog‘lik ekanligi bilan baholanadi. 40 nm qalinlikdagi Ge qatlamlari mos ravishda 700 va 800 °C da (3c,d-rasm) toplanishdan keyingi Ge zarralarining tuzilishi keltirilgan. Shuni ta‘kidlash mumkinki, toplanishni boshlash uchun odatda yuqori harorat talab qilinadi [13].

Yuqori haroratlarda toblanganda, Ge zarralarining kontsentratsiyasi undan ancha yuqori bo‘lib, ular sirt bo‘ylab bir tekis taqsimlanadi.



4-rasm. 4a- 700 °C, 4b- 800 °C larda  $\text{SiO}_2$  sirtiga o‘tkazilgan, 86 nm qalinlikdagi Ge namunalarning SEM tasvirlari [14].

4a va 4 b-rasmlarda ko‘rinib turibdiki, namuna 800 °C da 2 soat toblangandan sung, namunaning sirt morfologiyada ozgina o‘zgarishni ko‘rish mumkin. Tajribada aniqlandiki sirt morfologiyasining o‘zgarishi toplashning dastlabki daqidalarida sodir bo‘ldi [14].

## XULOSA

$\text{SiO}_2$  va uning sirtiga o‘tkazilgan Ge orasidagi kimyoviy bog‘lanish 580-700 °C haroratda boshlanadi. Past haroratlarda, Ge qatlamlari yuzasida to‘lqinlanish paydo bo‘lishi aniqlandi. Bog‘lanishdan sung hosil bo‘lgan pylonka polikristall ekanligi aniqlandi.

$\text{SiO}_2$  da Ge qatlamlarini o‘tkazish paytida qattiq holatda namlanish hodisasi yuz beradi, zarrachalar o‘z-o‘zidan hosil bo‘ladi va shakli hamda hajmi bo‘yicha keng yoyiladi.  $\text{SiO}_2$  sirtlarida Ge zarrachalarining shakllanishini o‘rganish mobaynida nano o‘lchamdagisi ya‘ni 40 nm gacha bo‘lgan uch o‘lchovli Ge orolchalari va kvant nuqtalari namoyon bo‘lishi aniqlandi.

$\text{SiO}_2$  sirtiga o‘tkazilgan Ge qatlami 580 °C da 30 daqiqa davomida toblangandan so‘ng, 10 va 20 nm Ge qatlamlarining qisman aglomeratsiyasi kuzatiladi. Bu tor kanallar va kichik zarrachalar shaklida shakllangan teshiklar yaqinida nisbatan katta zarrachalar hosil bo‘lishidan iboratligi aniqlandi.

**ADABIYOTLAR RO‘YXATI**

1. M Trautmann F Cheynis F Leroy S Curiotto P Muller 2017 Interplay between deoxidation and dewetting for ultrathin SOI films *Appl. Phys. Lett.* 110 161601
2. C Dabard AA Shklyaev VA Armbrister AL Aseev 2020 Effect of deposition conditions on the thermal stability of Ge layers on SiO<sub>2</sub> and their dewetting behavior *Thin Solid Films* 693 137681
3. AA Shklyaev M Shibata M Ichikawa 2000 High-density ultrasmall epitaxial Ge islands on Si(111) surfaces with a SiO<sub>2</sub> coverage *Phys. Rev. B* 62 1540 1543
4. A Barski M Derivaz JL Rouviere D Buttard 2000 Epitaxial growth of germanium dots on Si(001) surface covered by a very thin silicon oxide layer *Appl. Phys. Lett.* 77 3541 2543
5. AA Shklyaev M Ichikawa 2002 Effect of interfaces on quantum confinement in Ge dots grown on Si surfaces with a SiO<sub>2</sub> coverage *Surf. Sci.* 514 19 26
6. I Berbezier A Karmous A Ronda A Sgarlata A Balzarotti P Castrucci M Scarselli M Crescenzi De 2006 Growth of ultrahigh-density quantum-confined germanium dots on SiO<sub>2</sub> thin films *Appl. Phys. Lett.* 89 063122
7. CD Poweleit CW Hu IS Tsong J Tolle J Kouvetakis 2007 Optical characterization of Si<sub>1-x</sub>Gex nanodots grown on Si substrates via ultrathin SiO<sub>2</sub> buffer layers *J. Appl. Phys.* 101 114312
8. M Aouassa I Berbezier L Favre A Ronda M Bollani R Sordan A Delobbe P Sudraud 2012 Design of free patterns of nanocrystals with ad hoc features via templated dewetting *Appl. Phys. Lett.* 101 013117
9. KA Lozovoy AP Kokhanenko VV Dirko NYu Akimenko AV Voitsekhovskii 2019 Evolution of epitaxial quantum dots formed by Volmer–Weber growth mechanism *Cryst. Growth Des.* 19 7015 7021
10. KA Lozovoy AG Korotaev AP Kokhanenko VV Dirko AV Voitsekhovskii 2020 Kinetics of epitaxial formation of nanostructures by Frank–van der Merwe, Volmer–Weber and Stranski–Krastanow growth modes *Surf. Coat. Technol.* 384 125289
11. Y Kojima T Kato 2008 Nanoparticle formation in Au thin films by electron-beam-induced dewetting *Nanotechnology* 19 255605
12. HJ Choe SH Kwon C Choe JJ Lee CH Woo 2016 Sn microparticles made by plasma-induced dewetting *Thin Solid Films* 620 165 169
13. M Trautmann F Cheynis F Leroy S Curiotto P Muller 2017 Interplay between deoxidation and dewetting for ultrathin SOI films *Appl. Phys. Lett.* 110 161601
14. PR Gadkari AP Warren RM Todi RV Petrova KR Coffey 2005 Comparison of the agglomeration behavior of thin metallic films on SiO<sub>2</sub> *J. Vac. Sci. Technol. A* 23 1152 1161